

VPLIV LASERSKEGA POVR[INSKEGA PRETALJEVANJA NA ZAOSTALE NAPETOSTI V TANKIH PLO[^AH]

INFLUENCE OF LASER SURFACE REMELTING CONDITIONS ON RESIDUAL STRESSES IN THIN PLATES

JANEZ GRUM, R. [TURM

Fakulteta za strojni{tvo, A{ker-eva 6, 1000 Ljubljana

Prejem rokopisa - received: 1997-10-01; sprejem za objavo - accepted for publication: 1997-12-19

Lasersko povr{insko pretaljevanje je eden izmed najbolj{ih postopkov za modifikacijo povr{ine feritno-perlitne nodularne litine. Z njim je mo'no dose-i zelo visoko obrabno odpornost litega 'eleza, ki jo lahko primerjamo s povr{insko kaljenimi jekli. Lastnosti modificirane plasti so odvisne od mikrostrukture pred topotno obdelavo in od koli-ine vnesene topotne energije v povr{insko plast obdelovanca. Raziskovalno delo je usmerjeno na raziskavo zaostalih napetosti po laserskem povr{inskem pretaljevanju feritno-perlitne nodularne litine 500-7 (ISO). Ugotavljanje zaostalih napetosti je bilo izvedeno z relaksacijsko metodo, ki deluje po principu merjenja deformacij obdelovanca.

Klju{ne besede: lasersko povr{insko pretaljevanje, zaostale napetosti, nodularna litina, tanke plo{e

Laser surface remelting is one of the best procedures for surface modification of ferrite-pearlite nodular irons. By this procedure it is possible to achieve a very high wear resistance of cast irons which can be compared with the wear resistance of surface hardened heat-treatable steels. The properties of the modified layer depend on the microstructure prior to heat treatment and on the amount of energy input transferred into the surface layer of the workpiece. The research work was focused on the study of residual stresses after laser surface remelting of ferrite-pearlite nodular iron 500-7 (ISO). The identification of residual stresses was performed using the relaxation method, which consisted in measuring workpiece deformation.

Key words: laser surface remelting, residual stresses, nodular iron, thin plates

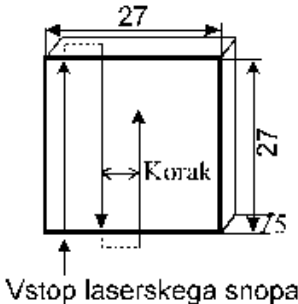
1 UVOD

Nodularna litina se veliko uporablja v in' enirske praksi zaradi nizke cene ter dobre livnosti in obdelovalnosti, zahtevane pri finalizaciji strojnih delov. Tem delom iz nodularne litine lahko z modifikacijo povr{ine s topotno obdelavo bistveno izbolj{amo obrabno odpornost najbolj izpostavljenih delov¹⁻⁴. Zato smo raziskali u-inke topotnega utrjevanja z laserskim pretaljevajem tankih povr{inskih plasti. Z izbiro ustrezne energijskega vnosa dose'emo hitro lokalno segrevanje materiala preko temperature taljenja, kar po samoga{enju ustvari modificirano plast 'elene trdote in globine^{1,5}. Zahtevane hitrosti ohlajanja modificirane povr{inske plasti zlahka dose'emo z difuzijo topote v preostali del hladne mase obdelovanca. Tako dobimo v pretaljeni povr{inski plasti finozrnato in zelo trdo ledeburitno mikrostrukturo. Lastnosti modificirane plasti so odvisne od mikrostrukture materiala pred topotno obdelavo in od koli-ine vnesene energije v povr{ino obdelovanca⁶⁻⁸. Delo je osredoto-eno na raziskavo zaostalih napetosti po laserskem povr{inskem pretaljevanju tankih plo{e iz feritno-perlitne nodularne litine 500-7 (ISO).

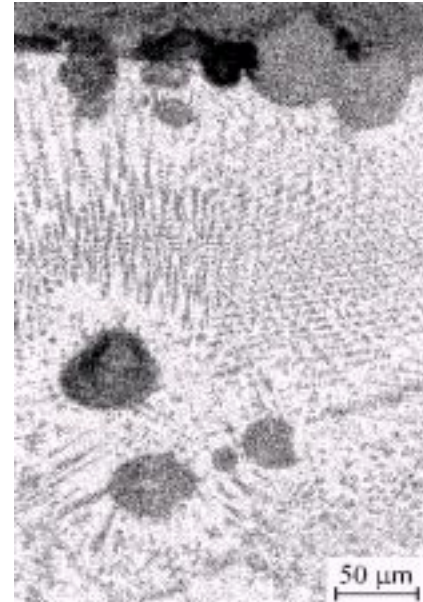
2 EKSPERIMENTALNI POSTOPEK

Za lasersko povr{insko pretaljevanje smo uporabili CO₂-laser z Gaussovo porazdelitvijo energije in maksimalno mo'jo 1,5 kW, ki jo lahko zvezno reguliramo. Eks-

perimenti so bili izvedeni pri mo'i laserskega izvira 1 in 1,5 kW ter stopnji defokusiranja med 22 in 34 mm pri gori{-ni razdalji le-e 127 mm. Premer laserskega snopa D_b na povr{ini obdelovanca se je tako gibal med 3,3 in 5,1 mm. Hitrost pomika laserskega snopa v_b smo spremnjali v obmo-ju med 15 in 21 mm/s. Tako smo spremnjali koli-ino dovedene energije na povr{ino obdelovanca v obmo-ju med 14,4 in 16,3 J/mm². Pri tej dovedeni energiji je bila globina pretaljene plasti med 0,3 in 0,4 mm. Absorptivnost povr{ine materiala obdelovanca na lasersko svetlobo z valovno dol'ino $\lambda = 10,6 \mu\text{m}$ smo pove-ali s kemi-nim nanosom absorberja Zn-fosfata. Preskusi laserskega povr{inskega pretaljevanja so bili narejeni tako, da je bilo zagotovljeno 0%, 15%, 30% in 50% prekrivanje {irine pretaljenih sledi. S prekrivanjem le-teh dose'emo popolnoma pretaljeno plast z enakomerno globino po celotni povr{ini obdelovanca in 'eleno globino modificirane plasti. Dimenziije obdelovancev oziroma vzorcev, v na{em primeru so tanke plo{e iz nodularne litine 500-7, so bile prilagojene izbranemu postopku laserskega pretaljevanja in zahtevam pri merjenju zaostalih napetosti (27 x 27 x 5 mm). **Slika 1** prikazuje na-in vodenja laserskega snopa po povr{ini vzorca in njegove dimenziije ter vstopno in izstopno mesto laserskega snopa na vzorcu. Koraki med posameznimi laserskimi sledmi so bili izbrani tako, da so zagotovili izbrano stopnjo prekrivanja.



Slika 1: Geometrija obdelovanca in na-in vodenja laserskega snopa
Figure 1: Workpiece geometry and the way of laser beam travel



Slika 2: Pretaljena cona, pove-ava 200x
Figure 2: Remelted zone, magnification 200x

3 EKSPERIMENTALNI REZULTATI

3.1 Mikrostruktura

Mikrostrukturne spremembe pri laserskem povr{inskem pretaljevanju nodularne litine so odvisne od temperturnih razmer med segrevanjem in ohlajanjem povr{inske plasti. V vseh primerih nastane modificirana povr{inska plast, ki je sestavljena iz dveh zna-ilnih con, in sicer pretaljene in kaljene cone.

3.1.1 Pretaljena cona

Na mikrostrukturne spremembe v pretaljeni povr{inski plasti v najve~ji meri vplivajo ohlajevalne hitrosti in stopnja raztopitve grafita v talini. Zaradi kratkega interakcijskega ~asa je raztopljanje grafita v talini nepopolno. Nepopolno raztopljeni noduli grafita so lahko pod vplivom vzgonskih in dinami-nih sil v bazenu taline potisnjeni celo na povr{ino taline, kjer se lahko pod laserskim snopom uparijo ali pa jih curek za{~itnega plina celo odpihne. Zaradi tega je lahko vsebnost ogljika v talini manj{a kot je povpre-na vsebnost ogljika v litini. To pa vpliva na nastanek razli-nih mikrostruktur v pretaljeni plasti. Ugotovili smo, da pretaljeno plast sestavlja dendriti avstenita s cementitom, nekaj martenzita in nepopolno raztopljeni noduli grafita. Dendriti avstenita rastejo med hitrim strjevanjem taline v smeri proti povr{ini, kar odgovarja smeri odvoda toplote pri ohljanju vzorca (slika 2).

3.1.2 Kaljena cona

V kaljeni coni pride samo do transformacije v trdnem. Med segrevanjem se perliti del matrice transformira v avstenit, ki se pri ga{enju transformira v martenzit s prisotnim zaostalim avstenitom. Feritni del matrice pa po avstenitizaciji in ga{enju ostane kot ferit.

3.2 Mikrotrdota

Z rezultati meritev mikrotrdote smo potrdili mikrostrukturne spremembe v materialu in pokazali, da je lasersko povr{insko pretaljevanje uspe{na metoda za utrjevanje povr{inske plasti. Trdota osnovnega materiala v mehkem stanju je bila med 200 in 250 HV_{0,1}, po laserski

obdelavi pa naraste na 800-950 HV_{0,1} v pretaljeni plasti in na 600-830 HV_{0,1} v martenzitni mikrostrukturi kaljene plasti.

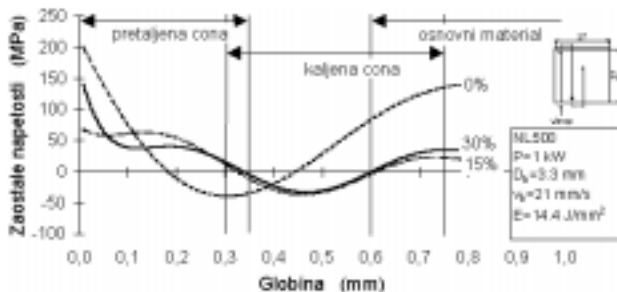
3.3 Zaostale napetosti

Poznanje napetostnega stanja v modificirani povr{inski plasti je zelo pomembno posebno v dinami-no obremenjenih strojnih delih. Zaostale napetosti so zelo odvisne od razmer pri ohlajanju pretaljene plasti, kar vpliva na nastanek razli-nega volumskega dele'a zaostalega avstenita, cementita in martenzita. Specifi-ni volumni nastalih faz so v odvisnosti od koli-ine ogljika podani v tabeli 1. Avstenit ima najmanj{i specifi-ni volumen. Zaradi tega vpliva koli-ina zaostalega avstenita na velikost nateznih zaostalih napetosti v pretaljeni plasti. Povr{ina z nateznimi notranjimi napetostmi pa je ob-utljiva na nastanek in razvoj razpok, ki lahko pripeljejo do poru{itve strojnega dela.

Tabela 1: Specifi-ni volumni faz¹⁰
Table 1: Specific volume of constituents¹⁰

Faza	Specifi-ni volumen (m^{-3}) ³
Avstenit	11.394 + 0.3155 C
Martenzit	11.775 + 0.370 C
Ferit + karbidi	11.786 + 0.163 C
Cementit	12.873

Segrevanje in ohlajanje v relativno tankih plo{ah je zelo odvisno od mo-i in premera laserskega snopa na povr{ini obdelovanca, interakcijskega ~asa in stopnje prekrivanja pretaljenih sledi. Na slikah 3 in 4 lahko vidimo potek zaostalih napetosti v globino modificirane



Slika 3: Zaostale napetosti pri različnih stopnjah prekrivanja pretaljenih sledi: $P = 1 \text{ kW}$, $D_b = 3,3 \text{ mm}$, $v_b = 21 \text{ mm/s}$, $E = 14,4 \text{ J/mm}^2$

Figure 3: Residual stresses at different degrees of overlapping of the remelted traces: $P = 1 \text{ kW}$, $D_b = 3,3 \text{ mm}$, $v_b = 21 \text{ mm/s}$, $E = 14,4 \text{ J/mm}^2$

plasti kot funkcijo različnih parametrov laserske obdelave. Iz rezultatov na sliki 3 lahko sklenemo naslednje:

- pri moji laserskega snopa $P = 1 \text{ kW}$ in premeru $D_b = 3,3 \text{ mm}$ ter hitrosti pomika $v_b = 21 \text{ mm/s}$ dobimo pri različnih stopnjah prekrivanja pretaljenih sledi zelo podobne poteke zaostalih napetosti. V površinski pretaljeni plasti so zaostale napetosti nateznega značaja in se s povevanjem stopnje prekrivanja le malo zničajo, in sicer iz območja 200 MPa v območje med 100 in 150 MPa.
- sprememba nateznih zaostalih napetosti v tlačne se zgodi na prehodu iz pretaljene v kaljeno cono. Maksimalne tlačne zaostale napetosti se pojavijo na sredini kaljene plasti in so med 30 in 50 MPa.

S povevanjem moji laserskega snopa ($P = 1,5 \text{ kW}$) in njegovega premera ($D_b = 5,1 \text{ mm}$) in s tem tudi količine dovedene energije $E = 16,3 \text{ J/mm}^2$ dosežemo v tankih pločah večje predgrevanje. To ima za posledico ničje ohlajevalne hitrosti. V teh temperaturnih razmerah pa pridejo zaradi prekrivanja pretaljenih sledi do vsejega izraza popustni efekti. Pri 50% prekrivanju pretaljenih sledi ima za posledico nastanek take mikrostrukture, ki skoraj nima zaostalih napetosti (slika 4).

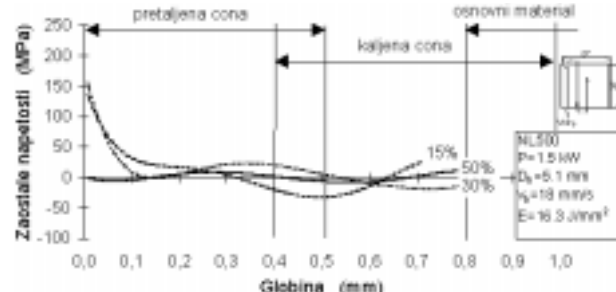
Z difracijo X-arkov smo analizirali količino faz v pretaljeni plasti. V tabeli 2 so prikazani rezultati izmerjenih deležev faz v pretaljeni plasti pri različnih razmerah laserske obdelave in pri različnih stopnjah prekrivanja pretaljenih sledi.

Tabela 2: Faz v pretaljeni plasti v vol.%

Table 2: Constituents of the remelted layer in vol.%

Obdelovalne razmere	Prekrivanje	Avstenit		Martenzit	Cementit	Grafit
		C_γ	$C_{\alpha'}$	Fe_3C		
$P = 1 \text{ kW}$ $D_b=3,3 \text{ mm}$	0%	28%	33%	34%	5%	
$P = 1,5 \text{ kW}$ $D_b=5,1 \text{ mm}$	50%	/	55%	42%	3%	

Iz rezultatov v tabeli 2 in na slikah 3 in 4 lahko sklenemo, da so pri izostanku zaostalega avstenita v mikrostrukturi pretaljene plasti natezne zaostale napetosti



Slika 4: Zaostale napetosti pri različnih stopnjah prekrivanja pretaljenih sledi: $P = 1,5 \text{ kW}$, $D_b = 5,1 \text{ mm}$, $v_b = 18 \text{ mm/s}$, $E = 16,3 \text{ J/mm}^2$

Figure 4: Residual stresses at different degrees of overlapping of the remelted traces: $P = 1,5 \text{ kW}$, $D_b = 5,1 \text{ mm}$, $v_b = 18 \text{ mm/s}$, $E = 16,3 \text{ J/mm}^2$

minimalne. Večja je količina martenzita v pretaljeni plasti, nič je so natezne zaostale napetosti.

4 SKLEPI

Na osnovi rezultatov mikrostrukturne analize in meritve mikrotrdote lahko sklenemo, da je lasersko površinsko pretaljevanje nodularne litine s feritno-perlitno matrico zelo uspešno pri povevanju trdote površinske plasti. Tako modificirana površinska plast pridobi večjo obrabno odpornost. Lasersko površinsko pretaljevanje zagotovi dovolj veliko debelino modificirane plasti z elementimi mikrostrukturami spremembami in zelo ugodnim profilom mikrotrdote. Po laserskem površinskem pretaljevanju kažejo izmerjene vrednosti zaostalih napetosti podoben potek v globino, in sicer natezne v pretaljeni plasti in tlačne v kaljeni. Pri večjih vnosih energije, ki jih lahko dosežemo z večjo močjo izvira in s povevanjem premera laserskega snopa na površini vzorca, dobimo izrazitejše pregrevanje v materialu vzorca, kar vpliva na zmanjševanje hitrosti ohlajjanja. To ima za posledico nastanek martenzitno-ledeburitne mikrostrukture v pretaljeni plasti. Posledica izbire takih obdelovalnih razmer, ki povečujejo pregrevanje vzorca, je zmanjšanje deleža zaostalega avstenita v mikrostrukturi, kar daje minimalne natezne zaostale napetosti. Torej se pri laserskem površinskem pretaljevanju tankih ploč iz feritno-perlitne nodularne litine 500-7 lahko izognemo nateznim zaostalim napetostim, če izberemo take parametre laserske obdelave, ki ustvarijo dovolj veliko pregrjevo. To zagotovi zničanje ohlajevalnih hitrosti in s tem najprej pri višji temperaturi nastanek manjšega količine zaostalega avstenita v ledeburitni mikrostrukturi. Drugi vpliv je popolnjevanje modificirane plasti zaradi pregrevanja, povzročenega s prekrivanjem sledi. Pri dovolj veliki stopnji prekrivanja pretaljenih sledi nam popustni efekti zagotovijo transformacijo zaostalega avstenita v martenzit in popolnjevanje prisotnega martenzita, kar se zaradi povečanja volumena martenzita proti avstenitu izraža v znicanju nateznih mikrostrukturnih napetosti.

5 LITERATURA

- ¹F. H. Reinke, Local Electric Arc Remelting Process for the Generation of Wear - Resistant White Iron Layer on Workpieces of Grey Cast Iron, Especially Camshafts and Cam Followers, AEG Elotherm, Remscheid, 1983
- ²H. W. Bergmann, D. Müller, T. Endres, R. Damascheck, J. Domes, A. S. Bransden, Industrial Applications of Surface Treatments with High Power Lasers, *Materials Science Forum*, 163-165 (1994) 377-404
- ³H. W. Bergman, Current Status of Laser Surface Melting of Cast Iron, *Surface Engineering*, 1 (1985) 2, 137-155
- ⁴Y. Guan, J. P. Montagnon, D. Pantelis, Ph. Poupeau, D. Francois, Laser Surface Treatment of Ferrito-pearlitic Spheroidal Graphite Cast Iron, *Memoires et Etudes Scientifiques Revue de Metallurgie*, 87 (1990) 1, 21-32
- ⁵R. Vilar, F. J. Solgado, Figueira, R. Sabino, Laser Surface Melting of Cast Iron, Eclat'90, Surface Treatments - Liquid State, 1990, 593-604
- ⁶D. L. Gravey, L. Maiffredy, A. B. Vannes, A Simple Way to Estimate the Level of the Residual Stresses after Laser Hardening, *Journal of Mechanical Working Technology*, 16 (1988) 65-78
- ⁷J. Grum, R. [turm, Characteristics of Laser Surface Melt-Hardening and Possibilities of Optimizing the Process, *Proceedings of the 2nd Int. Conf. on Quenching and The Control of Distortion*, Cleveland Marriot Society Center, Cleveland, Ohio, USA, 1996, 193-200
- ⁸J. Grum, R. [turm, P. @erovnik, Measurement and Analysis of Residual Stresses After Laser Hardening and Laser Surface Melt-Hardening on Flat Specimens, *Proceedings of the 2nd Int. Conf. on Quenching and The Control of Distortion*, Cleveland Marriot Society Center, Cleveland, Ohio, USA, 1996, 181-191
- ⁹J. Grum, R. [turm, Laser Surface Melt-Hardening of Gray and Nodular Iron. Proc. of the Int. Conference Laser Material Processing, Opatija, Croatia, 1995, 165-172
- ¹⁰K. H. Jack, Carbides and Nitrides in Steel; *Materials Science and Engineering*, 11 (1973) 1-27